

Таблица 15.1. Составы и температуры плавления двухкомпонентных эвтектических смесей *

| Состав смеси (мол. доли) | Температура плавления, °C | Состав смеси (мол. доли) | Температура плавления, °C |
|--|---------------------------|---|---------------------------|
| AlBr_3 (0,74) — KBr | 88—91 | AlCl_3 (0,817) — BaCl_2 | 180 |
| AlBr (0,82) — NaBr | 95 | LiNO_3 (0,54) — NaNO_3 | 193 |
| AlCl_3 (0,60—0,62) — NaCl | 108—115 | $\text{Ca}(\text{NO}_3)_2$ (0,310) — NaNO_3 | 214 |
| AlCl_3 (0,60) — LiCl | 114 | KCl (0,51) — ZnCl_2 | 230 |
| AlCl_3 (0,67) — KCl | 128 | LiCl (0,125) — LiNO_3 | 244 |
| KNO_3 (0,57—0,60) — LiNO_3 | 128—134 | $\text{Ba}(\text{NO}_3)_2$ (0,026—0,028) — KNO_3 | 251 |
| $\text{Ca}(\text{NO}_3)_2$ (0,342—0,360) — LiNO_3 | 142—146 | LiBr (0,55) — LiOH | 275 |
| CuCl (0,65) — KCl | 150 | $\text{Ba}(\text{NO}_3)_2$ (0,124—0,133) — KNO_3 | 287 |
| CuCl (0,34) — SnCl_2 | 172 | $\text{Ba}(\text{NO}_3)_2$ (0,064) — NaNO_3 | 294—298 |

Таблица 15.2. Составы и температуры плавления трехкомпонентных эвтектических смесей *

| Состав смеси (мол. доли) | Температура плавления, °C | Состав смеси (мол. доли) | Температура плавления, °C |
|--|---------------------------|---|---------------------------|
| AlCl_3 (0,635) — | 50 | $\text{Ba}(\text{NO}_3)_2$ (0,333) — | 158 |
| BaCl_2 (0,025) — NaCl | | $\text{Ca}(\text{NO}_3)_2$ (0,175) — KNO_3 | |
| AlCl_3 (0,56) — KCl (0,07) — LiCl | 84,5 | $\text{Ca}(\text{NO}_3)_2$ (0,18) — | 165 |
| AlCl_3 (0,60—0,63) — | 88—94 | LiNO_3 (0,45) — NaNO_3 | |
| KCl (0,13—0,16) — LiCl | | LiCl (0,05) — | 174 |
| CsNO_3 (0,24) — | 97 | LiNO_3 (0,80) — NaNO_3 | |
| KNO_3 (0,39) — LiNO_3 | | $\text{Ba}(\text{NO}_3)_2$ (0,013) — | 192 |
| KNO_3 (0,449) — | 120 | LiNO_3 (0,532) — NaNO_3 | |
| LiNO_3 (0,373) — NaNO_3 | | BaCl_2 (0,065) — | 205 |
| KNO_3 (0,44) — | 142 | NaCl (0,325) — ZnCl_2 | |
| NaNO_3 (0,07) — NaNO_2 | | $\text{Ba}(\text{NO}_3)_2$ (0,026) — | 214 |
| | | KNO_3 (0,513) — NaNO_3 | |

Таблица 15.3. Составы и температуры плавления нитрат-нитритных смесей

| Массовый состав, % | | | Температура плавления, °С | Массовый состав, % | | | Температура плавления, °С |
|--------------------|-------------------|------------------|---------------------------|--------------------|-------------------|------------------|---------------------------|
| NaNO ₂ | NaNO ₃ | KNO ₃ | | NaNO ₂ | NaNO ₃ | KNO ₃ | |
| 100 | 0 | 0 | 281 | 34 | 13 | 53 | 152 |
| 50 | 0 | 50 | 139 | 34 | 3 | 63 | 164 |
| 44 | 3 | 53 | 140 | 30 | 20 | 50 | 152 |
| 42 | 3 | 55 | 141 | 30 | 10 | 60 | 156 |
| 40 | 0 | 60 | 143 | 30 | 0 | 70 | 162 |
| 40 | 7 | 53 | 142 | 0 | 50 | 50 | 218 |
| 38,5 | 11 | 50 | 145 | 0 | 100 | 0 | 306 |
| 35 | 7 | 58 | 155 | 0 | 0 | 100 | 334 |

Таблица 15.4. Физические свойства селитряной смеси

Состав смеси: 40 % NaNO_3 , 53 % KNO_3 , 7 % NaNO_2

| Температура, °C | Плотность, кг/м ³ | Теплопроводность, Вт/(м·°C) | Вязкость $\eta \cdot 10^3$, Па·с | Температура, °C | Плотность, кг/м ³ | Теплопроводность, Вт/(м·°C) | Вязкость $\eta \cdot 10^3$, Па·с |
|-----------------|------------------------------|-----------------------------|-----------------------------------|-----------------|------------------------------|-----------------------------|-----------------------------------|
| 150 | 1975 | 0,441 | 17,76 | 400 | 1783 | 0,330 | 1,834 |
| 200 | 1934 | 0,435 | 7,88 | 450 | 1748 | 0,298 | 1,525 |
| 250 | 1895 | 0,426 | 4,57 | 500 | 1715 | 0,266 | 1,312 |
| 300 | 1856 | 0,393 | 3,09 | 550 | 1681 | 0,235 | 1,157 |
| 350 | 1819 | 0,362 | 2,31 | | | | |

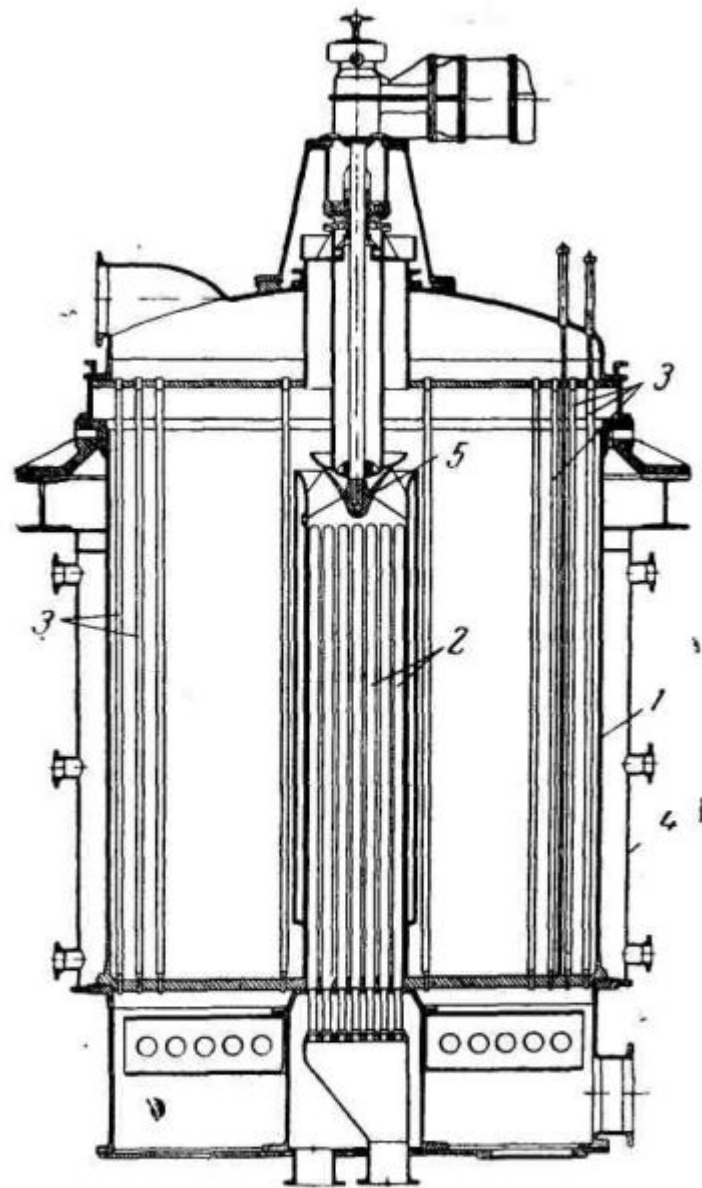


Рис. 264. Контактный аппарат с солевой ванной:

1—корпус; 2—двойные трубы; 3—трубы с катализатором; 4—рубашка; 5—пропеллерный насос.

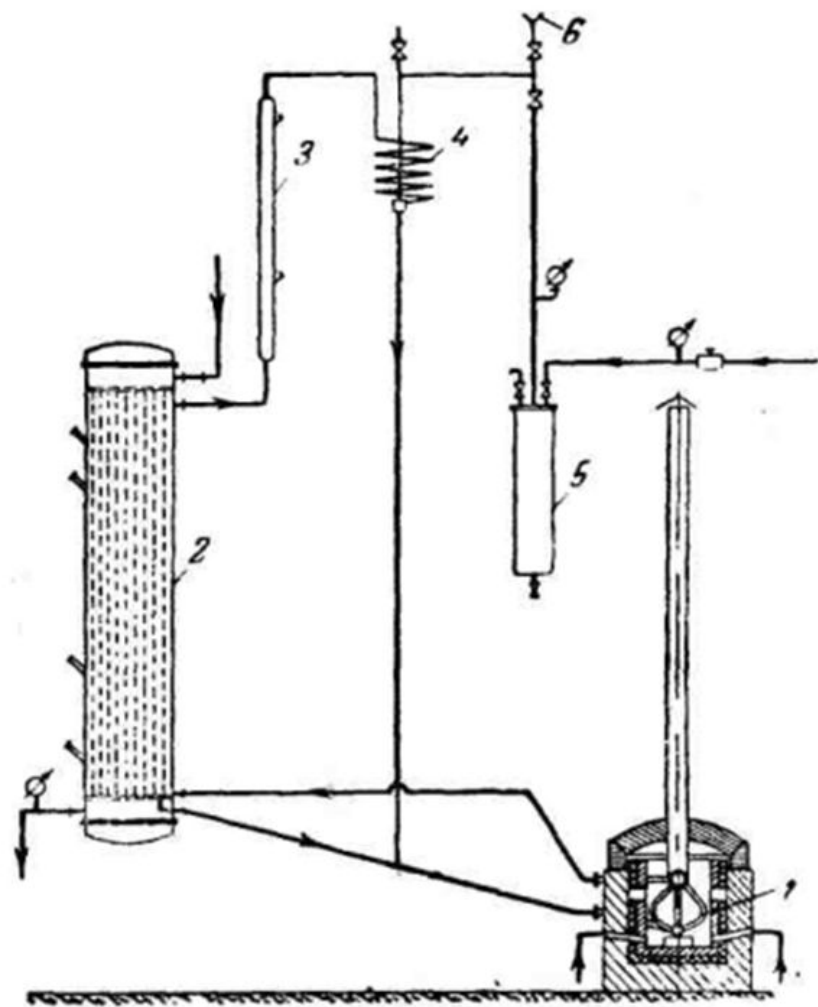


Рис. 265. Схема нагревания парами ртути:
 1—трубчатый испаритель; 2—обогреваемый аппарат
 3—труба-расширитель; 4—холодильник; 5—сосуд;
 6—воронка для заливки ртути.